

## Original Research Article - Extended Abstract

## Effect of Precursor Concentration on the Microstructure of Aluminum Oxide Coating Made through the Solution Precursor Plasma Spray Process

Amir Kebriyaei <sup>1</sup>, Mohammad Reza Rahimipour <sup>2</sup>, Mansour Razavi <sup>3\*</sup>, Atabak Alizadeh Herfati <sup>4</sup>

<sup>1</sup> Ph. D. Student, Department of Ceramic, Materials and Energy Research Center (MERC), MeshkinDasht, Alborz, Iran

<sup>2</sup> Professor, Department of Ceramic, Materials and Energy Research Center (MERC), MeshkinDasht, Alborz, Iran

<sup>3</sup> Associate Professor, Department of Ceramic, Materials and Energy Research Center (MERC), MeshkinDasht, Alborz, Iran

<sup>4</sup> M. Sc., Materials and Metallurgy Engineering College, University of Tehran, Tehran, Tehran, Iran

\*Corresponding Author's Email: [m.razavi@merc.ac.ir](mailto:m.razavi@merc.ac.ir) (M. Razavi)

**Paper History:**

Received: 2021-01-04

Revised in revised form: 2021-04-04

Scientific Accepted: 2021-04-11

**Keywords:**

SPPS,  
Set Up,  
Alumina,  
Fractured Shells,  
Precursor

**Abstract** In this research, the equipment required to produce ceramic coatings based on Solution Precursor Plasma Spray (SPPS) method was first identified and manufactured by exploring the relevant sources and contained information. Then, aluminum oxide coating was applied to the substrate with MCRAIY bond coat using the set-up. Further, a solution of aluminum sulphate with the concentrations of 0.5 and 1 molar was prepared and used as a precursor injected into the plasma plume in order to evaluate the effect of the precursor concentration on the coating microstructure. The results revealed that the alumina coating obtained from the more diluted precursor had a more porous structure than its counterpart, and its microstructure contained some bubble-like fractured shells as well as small spherical particles. However, the coating obtained from the precursor with higher concentration was found to be denser mainly due to the phenomenon occurring during the deposition through the SPPS process. The XRD analysis yielded similar results for both coatings where the  $\alpha\text{-Al}_2\text{O}_3$  was the predominant phase in the coating.



<https://doi.org/10.30501/jamt.2021.264619.1147>

URL: [https://www.jamt.ir/article\\_129292.html](https://www.jamt.ir/article_129292.html)

### 1. INTRODUCTION

Alumina coatings made from thermal spraying have a wide range of applications [1, 2]. Ideally, the heat-stable phase of  $\alpha\text{-Al}_2\text{O}_3$  is essential in most applications; however, it is often not achieved through a variety of conventional thermal spraying techniques including plasma spraying, even if the feed powder is pure  $\alpha\text{-Al}_2\text{O}_3$  [2-4]. Plasma spraying is widely used to precipitate alumina coatings [4-6].

Recently, the plasma spray deposition method, called Solution Precursor Plasma Spray (SPPS), has been developed to produce durable Thermal Barrier Coatings (TBC) with low thermal conductivity. In the SPPS process, instead of feeding the ceramic powder used in the conventional APS methods, the spray droplets of either aqueous or non-aqueous solution enter the plasma jet directly.

Alumina coating was created in this research through the SPPS method using a relatively inexpensive material, i.e., aluminum sulfate, on a stainless steel substrate, and its properties were investigated.

### 2. MATERIALS AND METHODS

The substrate samples were prepared from the AISI 304L stainless steel sheet with the thickness of 3 mm. prior to the process, the samples were first washed with acetone and then degreased and sprayed with alumina

abrasive particles with a mesh of 24 to decrease the surface roughness by about 5-10 microns. The powder used to create the bond coat is generally referred to as the MCRAIY. The boan coat with the thickness of about 70 microns was then applied using Atmospheric Plasma Spraying (APS) with an F4MB.

To create the top layer of alumina on the substrate surface, the aqueous solution of aluminum sulfate with a purity of 99.99 % made by Sigma Aldrich Company was used as a precursor with the concentrations of 0.5 and 1 M.

### 3. RESULTS AND DISCUSSION

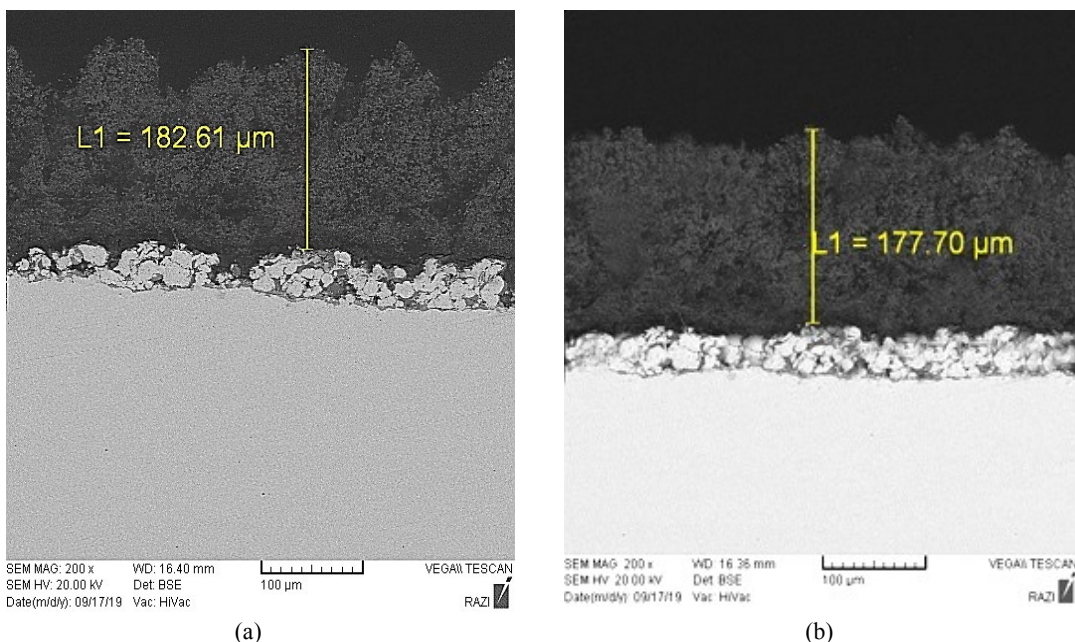
Figure 1 illustrates the SEM images of the created alumina coatings through the SPPS using aluminum sulfate precursors with the concentrations of 0.5 and 1 M. In this Figure, the thickness of the bond coat is about 50 microns. The results from the structural studies and phase analysis of the formed alumina coatings indicate that the bond coating has no effect on the coating properties. In this regard, the future study will put its main focus on the application of the bond coat with the desired quality to evaluate such properties. The thickness of the alumina coating in both samples is approximately 180 microns. The most obvious difference observed in the images of the two samples is the more porous structure of the alumina coating created with a lower precursor concentration (0.5 M) than that

Please cite this article as: Kebriyaei, A., Rahimipour, M. R., Razavi, M., Alizadeh Herfati, A., "Effect of precursor concentration on the microstructure of aluminum oxide coating made through the solution precursor plasma spray process", *Journal of Advanced Materials and Technologies (JAMT)*, Vol. 11, No. 1, (2022), 1-12. (<https://doi.org/10.30501/jamt.2021.264619.1147>).



of its counterpart. As a result, the structure of the coating formed from the precursor with the concentration of 1

M is characterized by a higher structural density than that of the other one.



**Figure 1.** SEM images of the alumina coating created through the SPPS method using the aluminum sulfate precursor with the concentrations of (a) 0.5 M and (b) 1 M

#### 4. CONCLUSION

The equipment designed and fabricated for the SPPS coating proved to be a success in the performance test. Consequently, Aluminum coating with the thickness of about 180 microns was formed on the substrate surface using aluminum sulfate precursors with the concentrations of 0.5 and 1 M.

#### 5. ACKNOWLEDGEMENT

The authors of the article express their gratitude and appreciation to the officials of the Pars Atlas Turbine Company for their pure efforts to provide equipment for the advancement of this research work.

#### REFERENCES

- Pawlowski, L., "The relationship between structure and dielectric properties in plasma-sprayed alumina coatings", *Surface and Coatings Technology*, Vol. 35, No. 3-4, (1988), 285-298. [https://doi.org/10.1016/0257-8972\(88\)90042-4](https://doi.org/10.1016/0257-8972(88)90042-4)
- Li, C. J., Yang, G. J., Ohmori, A., "Relationship between particle erosion and lamellar microstructure for plasma-sprayed alumina coatings", *Wear*, Vol. 260, No. 11-12, (2006), 1166-1172. <https://doi.org/10.1016/j.wear.2005.07.006>
- Stahr, C. C., Saaro, S., Berger, L. M., Dubský, J., Neufuss, K., Herrmann, M., "Dependence of the stabilization of  $\alpha$ -alumina on the spray process", *Journal of Thermal Spray Technology*, Vol. 16, No. 5-6, (2007), 822-830. <https://doi.org/10.1007/s11666-007-9107-7>
- McPherson, R., "On the formation of thermally sprayed alumina coatings", *Journal of Materials Science*, Vol. 15, No. 12, (1980), 3141-3149. <https://doi.org/10.1007/BF00550387>
- Niemi, K., Vuoristo, P., Mäntylä, T., Lugscheider, E., Knuutila, J., Jungklaus, H., "Wear characteristics of oxide coatings deposited by plasma spraying, high power plasma spraying and detonation gun spraying", In *Advances of Thermal Scince and Technology, Proceedings of The 8<sup>th</sup> National Thermal Spray Conference*, ASM International, Materials Park, Ohio, U.S., (1995), 645-650. <https://www.osti.gov/biblio/379581>
- Krishnan, R., Dash, S., Kesavamoorthy, R., Babu Rao, C. B., Tyagi, A. K., Raj, B., "Laser surface modification and characterization of air plasma sprayed alumina coatings", *Surface and Coatings Technology*, Vol. 200, No. 8, (2006), 2791-2799. <https://doi.org/10.1016/j.surfcoat.2005.05.002>



## فصلنامه مواد و فناوری‌های پیشرفته

Journal Home page: [www.jamt.ir](http://www.jamt.ir)



مقاله کامل پژوهشی

### بررسی تأثیر غلظت پیش‌ماده بر ریزساختار پوشش اکسید آلمینیوم اعمال شده به روش پاشش پلاسمای با پیش‌ماده محلول

امیر کبریایی<sup>۱</sup>، محمد رضا رحیمی‌پور<sup>۲</sup>، منصور رضوی<sup>۳\*</sup>، اتابک علیزاده حرفتی<sup>۴</sup>

<sup>۱</sup> دانشجوی دکتری، پژوهشکده سرامیک، پژوهشگاه مواد و انرژی، مشکین دشت، البرز، ایران

<sup>۲</sup> استاد، پژوهشکده سرامیک، پژوهشگاه مواد و انرژی، مشکین دشت، البرز، ایران

<sup>۳</sup> دانشیار، پژوهشکده سرامیک، پژوهشگاه مواد و انرژی، مشکین دشت، البرز، ایران

<sup>۴</sup> کارشناسی ارشد، دانشکده مهندسی مواد و متالورژی، دانشگاه تهران، تهران، ایران

تاریخچه مقاله:

ثبت اولیه: ۱۳۹۹/۱۰/۱۵

دریافت نسخه اصلاح شده: ۱۴۰۰/۰۱/۱۵

پذیرش علمی: ۱۴۰۰/۰۱/۲۲

کلیدواژه‌ها:

SPPS

تجهیزات،

آلومینیا،

پوسته‌های شکسته شده،

پیش‌ماده

**چکیده** در این پژوهش، نخست با مطالعه منابع مربوطه و به کارگیری اطلاعات موجود در آن‌ها، تجهیزات

موردنیاز برای تولید پوشش سرامیکی به روش پاشش پلاسمای با پیش‌ماده محلول (SPPS)، شناسایی و ساخته شد.

سپس اکسید آلمینیوم، روی سطح زیرلایه با پوشش میانی  $\text{MCrAlY}$ ، با استفاده از تجهیزات ساخته شده، پوشش دهی

شد. به‌منظور بررسی تأثیر غلظت پیش‌ماده بر ریزساختار پوشش حاصل، از محلول سولفات آلمینیوم با غلظت‌های

۰/۵ و یک مولار، به عنوان پیش‌ماده تزریق شده به شعله پلاسمای استفاده شد. نتایج نشان داد که پوشش آلمینیای

به دست آمده از پیش‌ماده رقیق‌تر، دارای ساختار متخلخل تری است و در ریزساختار آن، پوسته‌های شکسته شده

حبابی‌شکل به همراه برخی ذرات کروی کوچک مشاهده می‌شوند؛ اما پوشش حاصل از پیش‌ماده غلیظتر، دارای

تراکم بیشتری است که دلیل آن، به فرایندهای رخداده در حین رسوب‌دهی به روش SPPS مربوط است. نتایج آنالیز

XRD برای هر دو پوشش، مشابه بود و فاز غالب در پوشش،  $\alpha\text{-Al}_2\text{O}_3$  تشخیص داده شد.



<https://doi.org/10.30501/jamt.2021.264619.1147>

URL: [https://www.jamt.ir/article\\_129292.htm](https://www.jamt.ir/article_129292.htm)

### ۱- مقدمه

انفجاری<sup>۱</sup> گزارش شده است. با وجود عملکرد بهتر پوشش حاصل از پاشش پلاسمای، پوشش‌های آلمینیایی به دست آمده در پاشش انفجاری، مقادیر قابل توجهی از فاز  $\alpha\text{-Al}_2\text{O}_3$  به نمایش می‌گذارند. تلاش‌های متعددی برای تبدیل فازهای انتقالی  $\text{Al}_2\text{O}_3$  (نظیر  $\theta$ ،  $\delta$ ،  $\gamma$  و ...) به فاز ترجیحی  $\alpha\text{-Al}_2\text{O}_3$  در پوشش‌های رسوب‌یافته با استفاده از روش‌های مختلف گزارش شده است. عملیات حرارتی در دمای بالاتر از ۱۱۰۰ درجه سلسیوس پس از پوشش‌دهی، یک فرایند معمول برای تبدیل آلمینیاهای انتقالی به  $\alpha\text{-Al}_2\text{O}_3$  است. اگرچه این روش، اغلب به دلیل احتمال آسیب دیدن زیرلایه، عملی نیست [۶-۷].

پوشش‌های آلمینیای ایجاد شده به وسیله پاشش حرارتی به دلیل خواص دی‌الکتریک، مقاومت ذاتی به سایش و خوردگی و سدّ نفوذی، کاربردهای گسترده‌ای دارند [۱ و ۲]؛ به طور ایده‌آل در اکثر کاربردها به فاز پایدار حرارتی  $\alpha\text{-Al}_2\text{O}_3$  نیاز است، ولی اغلب به وسیله انواع روش‌های پاشش حرارتی متداول از جمله پاشش پلاسمای حاصل نمی‌شود؛ حتی اگر پودر تغذیه از فاز خالص  $\alpha\text{-Al}_2\text{O}_3$  باشد [۲-۴]. از روش پاشش پلاسمای به طور گسترده برای رسوب دادن پوشش‌های آلمینیا استفاده می‌شود؛ در حالی که خواص بهتری در پوشش‌های حاصل از روش پاشش

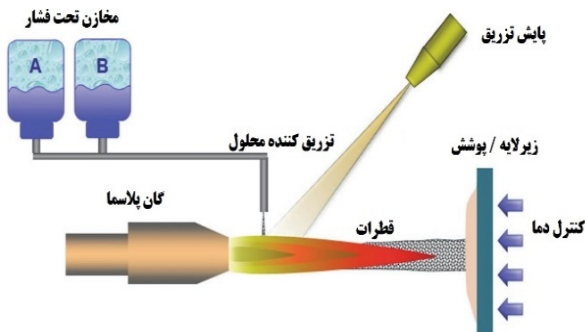
<sup>۱</sup> Detonation Spray

\*عهده دار مکاتبات

نشانی: ایران، البرز، مشکین دشت، پژوهشگاه مواد و انرژی، پژوهشکده سرامیک، تلفن: ۰۲۶-۳۶۲۸۰۰۴۰، دورنگار: ۰۲۶-۳۶۲۰۱۸۸۸

پیام‌نگار: [m.razavi@merc.ac.ir](mailto:m.razavi@merc.ac.ir)

قبلی اشاره شده، می‌توان پدید آوردن تخلخل‌های لایه‌ای برای کاهش هدایت حرارتی، تشکیل پوشش با ریزساختارهای دو فازی، افزودن انرژی شیمیایی محلول به منظور کمک به ایجاد رسوب و ... را نام برد [۱۱ و ۱۲].



شکل ۱. نمای کلی از فرایند پاشش پلاسمای پیش‌ماده محلول [۹] (SPPS)

در همین راستا، در پژوهش‌های قبلی، از این روش برای ایجاد پوشش‌های سدّ حرارتی ضخیم با ترک‌های عمودی متراکم<sup>۷</sup>، پوشش‌هایی با خواص فوتولومیننسنس<sup>۸</sup>، پوشش‌هایی با کاربرد در سلول‌های سوختی اکسید جامد<sup>۹</sup> (SOFC)، هیدروکسی آپاتیت‌ها، پوشش‌های ابر آب‌گریز<sup>۱۰</sup> و ... استفاده شده و خواص مطلوبی حاصل شده است [۱۳-۱۷].

باتوجه به جدید بودن فرایند SPPS نسبت به سایر فرایندهای پاششی و عدم توجه جدی به آن در داخل کشور، در این پژوهش، با بررسی دقیق منابعی که از فرایند SPPS برای اعمال پوشش‌های مختلف استفاده کرده‌اند، تجهیزات مربوط به این فرایند ساخته شد تا برای پوشش‌دهی مورد استفاده قرار گیرند. عدم بررسی پوشش آلومینیم با روش SPPS در مطالعات پژوهشگران قبلی و هدف دستیابی به پوشش  $\alpha\text{-Al}_2\text{O}_3$  از ماده نسبتاً ارزان‌قیمت سولفات آلومینیوم، بر اهمیت این پژوهش و توجیه علمی و اقتصادی آن افزود. با هدف بررسی اثر غلاظت پیش‌ماده بر ریزساختار پوشش، از پیش‌ماده سولفات آلومینیوم با غلاظت‌های مختلف برای ایجاد پوشش آلومینیما روی سطح زیرلایه استفاده شد. بررسی‌های آنالیز حرارتی افتراقی<sup>۱۱</sup> (DTA)

به طور معمول از روش‌های مبتنی بر پیرولیز پاششی<sup>۱</sup> برای سنتز پودرهای مختلف سرامیکی نانوساختار استفاده می‌شود. بالاین وجود مشخص شده است که سنتز تکمرحله‌ای پودرهای خالص  $\alpha\text{-Al}_2\text{O}_3$  دشوار است و به فرایندهای اصلاحی نظیر پیرولیز پاشش احتراقی با استفاده از سوختی با ارزش گرمایی بالا یا عملیات بعدی تکلیس نیاز است [۷].

به تازگی روش رسوب‌دهی با پاشش پلاسمای تحت عنوان پاشش پلاسمای پیش‌ماده محلول<sup>۲</sup> (SPPS) ایجاد شده است که پوشش‌های سدّ حرارتی<sup>۳</sup> (TBC) بادوام و با هدایت حرارتی کم را پدید می‌آورد. در فرایند SPPS به جای تغذیه پودر سرامیکی که در روش‌های معمول<sup>۴</sup> APS استفاده می‌شود، قطره‌های افسانه<sup>۵</sup> یک محلول آبی یا غیرآبی (حاوی کاتیون یا کاتیون‌های ضروری برای تشکیل اکسید موردنظر) به طور مستقیم وارد جت پلاسمای شوند (شکل ۱).

مراحل فرایند SPPS شامل: شکسته شدن قطره، تبخیر حلّال، پیرولیز ذرات، ذوب و در نهایت ایجاد رسوب است. از آنجایی که سازوکار ایجاد رسوب پوشش‌های SPPS اساساً متفاوت از فرایندهای مرسوم APS است [۸ و ۹]، اختلال شیمیایی محلول‌ها اجازه می‌دهد تا ترکیبات پیش‌ماده جدید به سرعت فرمول‌بندی شده و به عنوان پوشش، رسوب داده شوند. پوشش‌های چندجزئی به راحتی از ترکیب کردن پیش‌ماده‌های مایع با نسبت‌های مناسب تولید می‌شوند. این موضوع با سایر فرایندهای پاشش حرارتی قابل قیاس است که می‌بایست پودرهای پاششی برای هر ترکیب، تولید شده و به صورت همگن ترکیب شوند. از دیگر ویژگی‌های منحصر به فرد فرایند SPPS این است که با کنترل فرایند تزریق، مقدار مواد پیرولیز شده قابل تنظیم است. این موضوع امکان رسوب اختیاری مواد نیمه پیرولیز شده را در برخی کاربردها (نظیر پوشش‌های سدّ حرارتی که باعث تشکیل ترک‌های عمودی مفید می‌شود) می‌دهد؛ ضمن این‌که مواد پیرولیز نشده می‌توانند در سایر کاربردها حذف شوند که به پوشش‌های چگال شامل اسپلتهای<sup>۶</sup> خیلی ریز منجر می‌شود [۹ و ۱۰]. از دیگر مزایای این روش که در گزارش‌های

<sup>۷</sup> Dense Vertically Cracks

<sup>۸</sup> Photoluminescence

<sup>۹</sup> Solid Oxy Fuel Cells

<sup>۱۰</sup> Superhydrophobic Coatings

<sup>۱۱</sup> Differential Thermal Analysis

<sup>۱</sup> Spray Pyrolysis

<sup>۲</sup> Solution Precursor Plasma Spray

<sup>۳</sup> Thermal Barrier Coatings

<sup>۴</sup> Atmospheric Plasma Spray

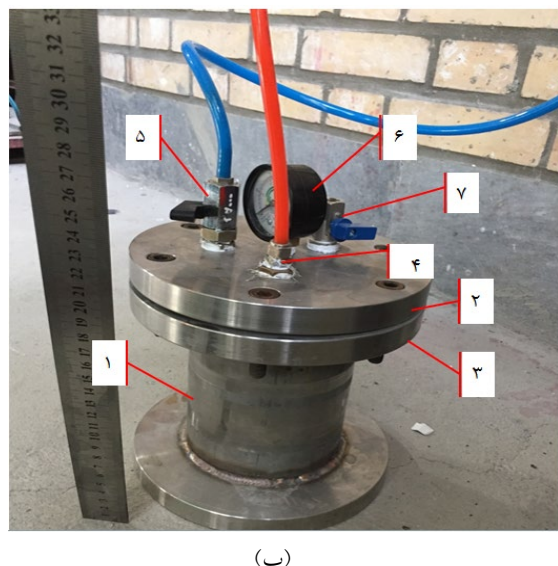
<sup>۵</sup> Atomized

<sup>۶</sup> Splats

زنگنزن AISI 304L و شامل یک بدنه به‌شکل لوله (جزء شماره ۱ در شکل ۲)، فلنچ بالایی (جزء شماره ۲)، فلنچ پایینی (جزء شماره ۳)، دریچه ورودی گاز فشاری (جزء شماره ۴) روى فلنچ بالایی، شیر خروجی مایع (جزء شماره ۵ روی فلنچ بالایی)، فشارسنج مخزن (جزء شماره ۶) و شیر تخلیه گاز (جزء شماره ۷) بود.



(الف)



(ب)

شکل ۲. تجهیزات مورد استفاده در فرایند SPPS: (الف) تفنگ پلاسما، افشناساز و قیود ثبیت‌کننده، (ب) مخزن تحت فشار: (۱) بدنه مخزن، (۲) فلنچ بالایی، (۳) فلنچ پایینی، (۴) خروجی مایع، (۵) ورودی گاز متراکم‌کننده، (۶) فشارسنج و (۷) شیر تخلیه

به‌منظور قرارگیری افشناساز در محل مشخص که ثبیت‌کننده زاویه، فاصله شعاعی و محوری موقعیت خروجی

پیش‌ماده‌ها، مطالعات ریزساختاری پوشش‌ها با میکروسکوپ الکترونی روبشی<sup>۱</sup> (SEM) و آنالیز پراش پرتوی ایکس<sup>۲</sup> (XRD) نیز صورت گرفت.

## ۲- روش تحقیق

### ۱-۲- مواد مورد استفاده

نمونه‌های زیرلایه از ورق فولاد زنگنزن AISI 304 به ضخامت ۳ میلی‌متر تهیه شدند. قبل از انجام فرایند، ابتدا نمونه‌ها توسط استون، شستشو و چربی‌زدایی شدند و سپس تحت پاشش ذرات ساینده آلومینا با مش ۲۴ قرار گرفتند تا زیری سطح در حدود ۵-۱۰ میکرون شود. پودر مورداستفاده برای ایجاد لایه میانی<sup>۳</sup> عموماً از نوع MCrAlY بود که در اینجا از پودر Amdry 962 ساخت شرکت PAC برای پوشش دهی لایه میانی استفاده شد. پوشش میانی به ضخامت حدود ۷۰ میکرون به روش پاشش پلاسما در اتمسفر (APS) با تفنگ F4MB انجام شد.

برای ایجاد پوشش فوقانی<sup>۴</sup> آلومینا روی سطح زیرلایه، از محلول آبی سولفات آلومینیوم با خلوص ۹۹/۹۹ درصد ساخت شرکت سیگما آلدريچ<sup>۵</sup> (شناخته ۲۰۲۶۱۴) به عنوان پیش‌ماده با غلظت‌های ۰/۵ و ۱ مولار استفاده شد. لازم به ذکر است که حداکثر حلایت سولفات آلومینیوم در آب، ۱ مولار است.

### ۲- تجهیزات مورد نیاز برای انجام آزمون‌ها

برای ایجاد محیط پلاسما برای پاشش ذرات بر سطح زیرلایه، از دستگاه تولید پلاسما استفاده شد. گاز اولیه برای تولید پلاسما، آرگون بود؛ پس از ایجاد محیط پلاسما و به‌منظور افزایش توان آن، گاز هیدروژن به محیط وارد شد. تنظیم شعله پلاسمای پایدار و مطلوب، با نسبت مشخص هیدروژن به آرگون و نیز جریان و ولتاژ اعمالی، انجام شد. از تفنگ نوع F4 که قابلیت ایجاد شعله پلاسما با توان ۶۰ کیلووات را دارد، استفاده شد.

به‌منظور تلمبهزنسی پیش ماده مایع با فشار مناسب به افشناساز<sup>۶</sup>، یک مخزن تحت فشار ساخته شد که تصویر آن در شکل ۲ ارائه شده است. کلیه اجزاء این مخزن از جنس فولاد

<sup>۴</sup> Top Coat

<sup>۵</sup> Sigma Aldrich

<sup>۶</sup> Atomizer

<sup>۱</sup> Scanning Electron Microscope

<sup>۲</sup> X-Ray Diffraction

<sup>۳</sup> Bond Coat

پوشش دهی، ضخامت پوشش بعد از هر ۱۰ پاس لایه‌نشانی و خنک شدن سطح نمونه، توسط دستگاه ضخامت‌سنج آتراسونیک مدل GM100 و با هدف رسیدن به ضخامت حدود ۱۸۰ میکرون اندازه‌گیری شد.

جدول ۱. پارامترهای مورد استفاده در فرایند SPPS

مقدار	پارامتر
۵۵۰ آمپر	جريان پلاسمما
۷۰ ولت	ولتاژ پلاسمما
۵ سانتی‌متر	فاصله تفنگ تا قطعه
۳۰-۴۰ میلی‌لیتر بر دقیقه	مقدار دبی پیش‌ماده
۱ مولار	غاظت پیش‌ماده
۰/۵ مولار	
محلول سولفات آلومینیوم	نوع پیش‌ماده
۰/۵ بار	فشار گاز افسانه‌ساز
نیتروژن	نوع گاز افسانه‌ساز
۲ بار	فشار مخزن
آرگون	گاز مخزن
F4MB	نوع تفنگ
MCrAlY (Amdry 963): ۷۰ میکرون	نوع پوشش میانی
۵۰۰ درجه سلسیوس	دما پیش‌گرم
۲۰ میلی‌متر	فاصله شعاعی افسانه‌ساز تا مرکز شعله
توسط هوای فشرده	خنک‌کاری
۵۰۰ میلی‌متر بر ثانیه	سرعت حرکت طولی تفنگ

### ۳- نتایج و بحث

#### ۳-۱ DTA پیش‌ماده‌ها

در شکل ۳، نتایج مربوط به آزمون DTA دو پیش‌ماده سولفات آلومینیوم با غاظت‌های ۰/۵ و ۱ مولار ارائه شده است. همان‌طور که ملاحظه می‌شود پیک‌های دو نمونه به لحاظ دمای واکنش مشابه‌ند. هر دو نمونه، آب فیزیکی خود را در دمای

پیش‌ماده از خروجی شعله از تفنگ است، می‌باشد از قیود و نگهدارندهایی استفاده کرد که مناسب با هندسه تفنگ و افسانه‌ساز باشند. در این راستا، ابتدا یک نگهدارنده برای نگهداری افسانه‌ساز درنظر گرفته شد (جزء شماره ۱ شکل ۲) و سپس توسط یک پیچ رابط (جزء شماره ۷) به یک قید دیگر که به قسمت نگهدارنده آند تفنگ متصل شده بود (جزء شماره ۲)، تشییت شد. پیچ رابط دارای انحنای ۱۰ درجه است و شیاری که در مرکز قید متصل به آندگیر ایجاد شده، قابلیت حرکت نگهدارنده افسانه‌ساز روی آن را (به‌منظور تنظیم فاصله شعاعی از محور شعله تفنگ) فراهم می‌کند؛ ضمن آنکه فاصله محوری نگهدارنده افسانه‌ساز به‌وسیله مهره تشییت‌کننده آن به قید متصل به تفنگ (جزء شماره ۸)، قابل تغییر است.

جدول ۱ خلاصه پارامترهای پوشش دهی را نشان می‌دهد. لازم به ذکر است که در این روش، با توجه به نزدیک‌تر بودن تفنگ پلاسمما به نمونه نسبت به فرایند APS، برای جلوگیری از گرم شدن بیش از حد نمونه‌ها در حین پوشش دهی، پشت نمونه‌ها از طریق هوای فشرده خنک شد و دمای نمونه‌ها توسط دما‌سنج لیزری، اندازه‌گیری و در حدود ۵۰۰ درجه سلسیوس کنترل شد [۹، ۱۲].

قبل از انجام پوشش دهی، آزمون DTA برای دو پیش‌ماده به صورت محلول توسط دستگاه آنالیز حرارتی STA503 شرکت BAHR انجام شد. محاسبات در بازه دمایی ۲۵ تا ۱۰۰۰ درجه سلسیوس در بوته آلومینایی و با نرخ گرمایش ۱۰ درجه سلسیوس بر دقیقه صورت گرفت.

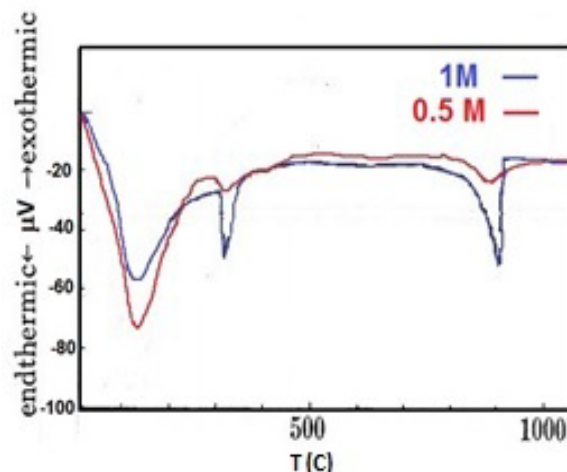
پس از پوشش دهی، به‌منظور شناسایی فازهای بلوری، آنالیز پراش پرتوایکس روى هر دو نمونه پوشش داده شده با غاظت‌های مختلف با استفاده از دستگاه فیلیپس مدل PW3020 مجهز به یک تولیدکننده پرتو CuK $\alpha$  با طول موج ۱/۵۴۲ آنگستروم، ولتاژ شتاب‌دهنده ۴۰ کیلوولت و جريان ۳۰ میلی‌آمپر انجام شد. آنالیز پراش پرتوها از روی سطح پوشش نمونه‌ها صورت گرفت و اندازه‌گیری‌ها در محدوده ۲۰-۸۰ درجه با اندازه گام ۰/۰۴ و زمان گام ۲ ثانية لحاظ شد. همچنین از میکروسکوپ الکترونی روبشی (SEM) مدل VEGA/TESCAN مجهز به فیلامان تنگستنی با ولتاژ بالا (۱-۳۰ کیلوولت)، برای بررسی ریزساختار پوشش‌های به‌دست‌آمده از دو پیش‌ماده، استفاده شد. در حین فرایند

ندارد و در مطالعات آتی که ارزیابی خواص مدنظر خواهد بود، اعمال لایه میانی با کیفیت مطلوب مورد توجه قرار خواهد گرفت. ضخامت پوشش آلومینا در هر دو نمونه به طور تقریبی در حدود ۱۸۰ میکرون است. بازترین اختلاف در تصاویر مربوط به دو نمونه، حضور تخلخل بیشتر در پوشش آلومینای ایجادشده با غلظت کمتر پیش‌ماده (۰/۵ مولار) است؛ به طوری که ساختار پوشش پدیدآمده از پیش‌ماده با غلظت ۱ مولار، دارای تراکم ساختاری بیشتری است. همان‌طور که در شکل ۴ (ج) مشاهده می‌شود، ریزساختار پوشش آلومینای ایجادشده با پیش‌ماده رقیق‌تر (غلظت ۰/۵ مولار)، دارای ساختارها و شکل‌های متفاوتی از ذرات رسوب‌یافته است. در کنار مناطق چگال و مناطق متخلخل (نایپوسته)، تعداد زیادی ذرات به شکل پوسته‌های کروی توخالی<sup>۲</sup> (پوسته‌های شکسته شده<sup>۳</sup>) با ابعاد کمتر از ۵ میکرون، تعداد کمی ذرات جامد کروی<sup>۴</sup> کوچک با ابعاد در حدود ۱ میکرون و همچنین ذرات با شکل نامنظم مشاهده می‌شوند؛ با این حال، مطابق شکل ۵ (ج)، مناطق چگال<sup>۵</sup> بخش بیشتری را در پوشش آلومینای پدیدآمده از پیش‌ماده غلیظتر (غلظت ۱-۰ مولار) تشکیل می‌دهند و با کاهش مناطق متخلخل (نایپوسته)، حضور پوسته‌های شکسته شده به طور چشمگیری کاهش می‌یابد و تا حدودی ذرات کروی کوچک نسبت به آنچه که در ساختار-پوشش آلومینای ایجادشده با پیش‌ماده رقیق مشاهده شد (شکل ۴ (ج))، افزایش می‌یابند. در توجیه این اختلاف در ریزساختار دو پوشش حاصل می‌بایست سازوکار رسوب‌گذاری در فرایند پوشش دهی به روش SPPS را مورد بررسی و تجزیه و تحلیل قرار داد.

شکل ۶، طرحواره کلی از پدیده‌هایی که در حین فرایند پوشش دهی به روش SPPS رخ می‌دهد را نشان می‌دهد. همان‌طور که در این شکل ملاحظه می‌شود، یک قطره، هنگام ورود، بسته به مقدار حرارت منتقل شده به آن از سوی پلاسماء، تمام یا برعی از فرایندهای زیر را متحمل می‌شود:

تبغیر حلال پیش‌ماده، شکستن (تجزیه) قطره، رسوب‌گذاری محلول پیش‌ماده، پیرولیز، تفجوشی<sup>۶</sup>، ذوب و تبلور.

حدوداً ۱۵۰-۱۰۰ درجه سلسیوس طی یک واکنش گرمائی<sup>۱</sup> از دست می‌دهند، در یک واکنش گرمائی در بازه دمایی ۳۰۰-۳۴۰ درجه سلسیوس، با از دست دادن آب ساختاری، دی‌هیدراته می‌شوند و سپس یک واکنش گرمائی دیگر در دمای حدود ۹۰۰ درجه سلسیوس رخ می‌دهد که می‌توان آن را به واکنش تجزیه سولفات‌آلومینیوم و تشکیل فاز  $\gamma$ -Al<sub>2</sub>O<sub>3</sub> نسبت داد [۱۸]. البته مقادیر گرمای هر کدام از این واکنش‌ها برای دو پیش‌ماده، به طور نسبی متفاوت است؛ به طوری که برای پیش‌ماده با غلظت ۰/۵ مولار، احتمالاً به دلیل وجود آب فیزیکی بیشتر، پیک واکنش اول بلندتر است. همچنین پیک واکنش سوم (تجزیه سولفات‌آلومینیوم) برای پیش‌ماده با غلظت ۱ مولار، احتمالاً به دلیل باقی‌ماندن مقدار بیشتری از پیش‌ماده جامد نسبت به پیش‌ماده با غلظت ۰/۵ مولار، بلندتر است که نشان از آنتالپی بالاتر این واکنش دارد.



شکل ۳. نتایج آنالیز DTA پیش‌ماده‌های محلول سولفات‌آلومینیوم با غلظت‌های ۰/۵ و ۱ مولار

### ۲-۳- ریزساختار پوشش‌های اعمال شده

شکل‌های ۴ و ۵، تصاویر SEM پوشش آلومینای اعمال شده به روش SPPS را با استفاده از پیش‌ماده سولفات‌آلومینیوم با غلظت‌های به ترتیب ۰/۵ و ۱ مولار نشان می‌دهد. ضخامت لایه میانی در حدود ۵۰ میکرون است. بررسی‌های ساختاری و آنالیز فازی پوشش آلومینای تشکیل شده، حاکی است که پوشش میانی، تأثیری بر ویژگی‌های پوشش مذکور

<sup>4</sup> Spherical Solid Particles

<sup>5</sup> Dense Zone

<sup>6</sup> Sintering

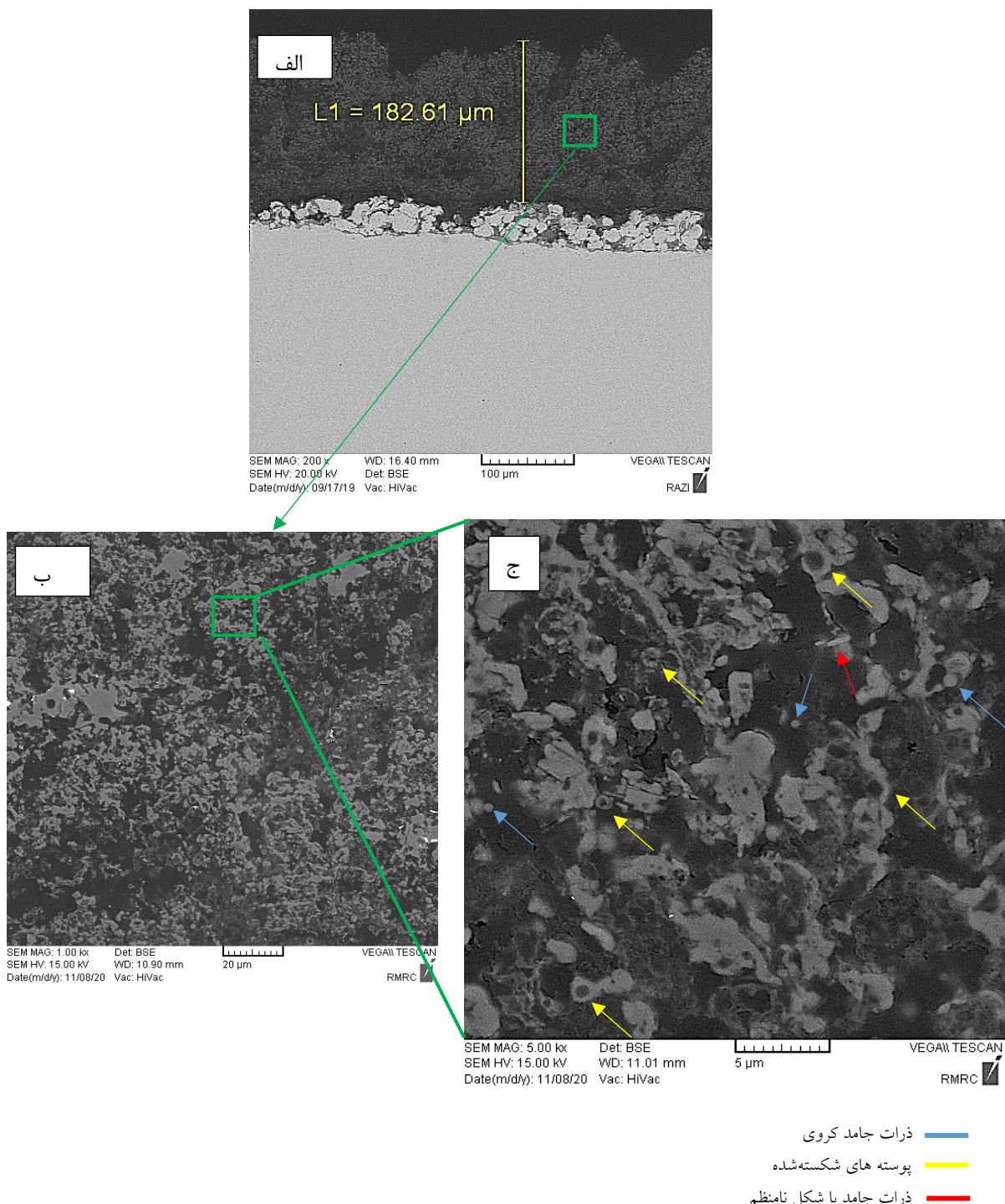
<sup>۱</sup> Endothermic

<sup>۲</sup> Hallow Spherical Shells

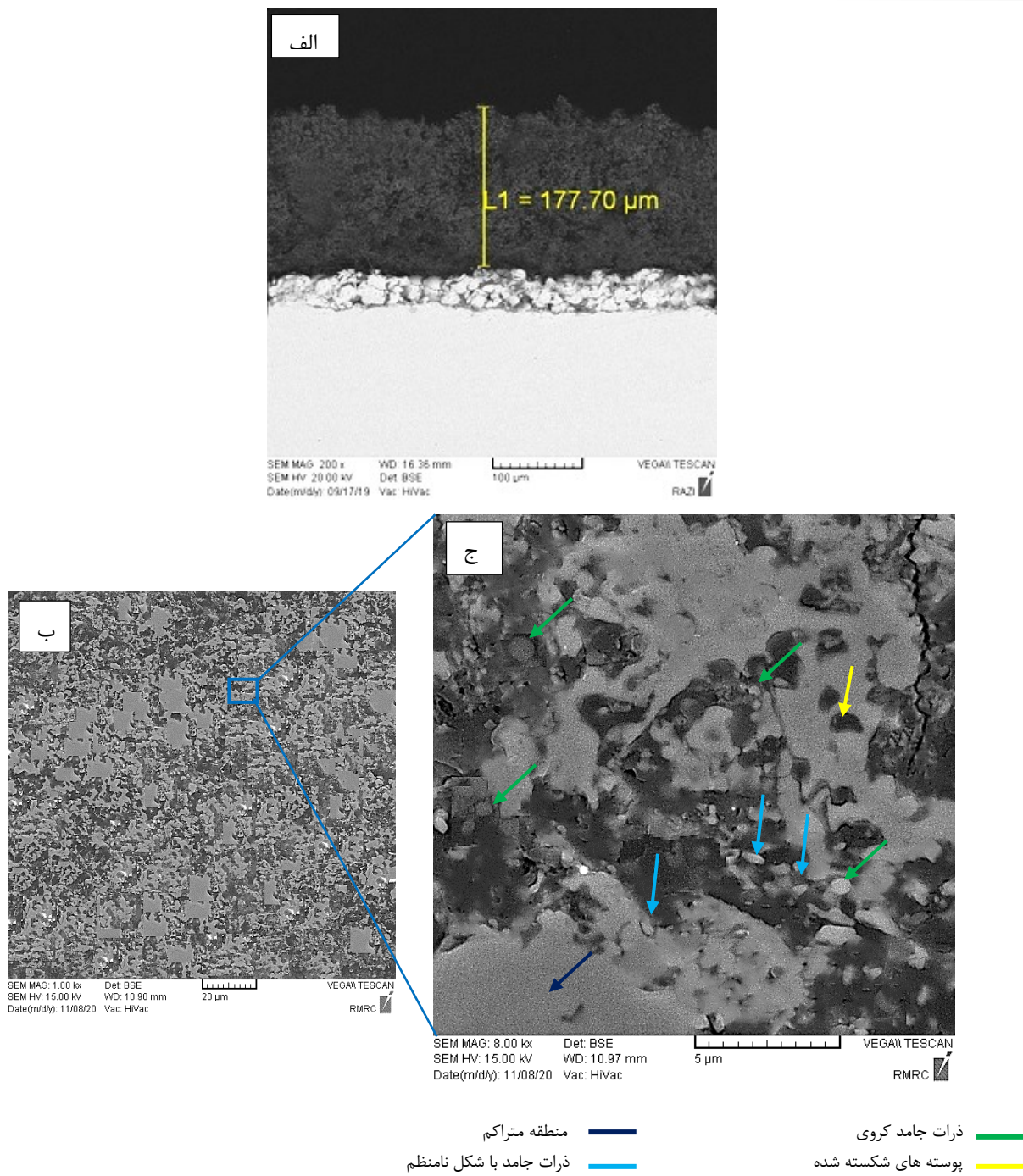
<sup>۳</sup> Fractured Shells

جدا از این موضوع، چن<sup>۲</sup> و همکارانش [۱۹]، تأثیر غلظت پیش‌ماده بر پدیده‌های رخداده روی قطره‌های پیش‌ماده در حین پوشش‌دهی به روش SPPS و در ادامه تأثیر آن بر ریزساختار پوشش را بررسی کردند.

از آنجایی که فرایندهای شیمیایی و فیزیکی‌ای که یک قطره متحمل می‌شود، به گرمایی که دریافت می‌کند وابسته است، ازین‌رو، شرایط رسوب‌دهی پوشش به‌طور مستقیم تابع پیشینه حرارتی آن است که خود وابسته به اندازه حرکت<sup>۱</sup> قطره و محل تزریق آن در شعله پلاسماست [۹].



شکل ۴. تصاویر SEM پوشش آلومینی ایجاد شده به روش SPPS با پیش‌ماده سولفات آلومینیوم با غلظت ۰/۵ مولار



شکل ۵. تصاویر SEM پوشش آلمینی ایجاد شده به روش SPPS با پیش‌ماده سولفات آلمینیوم با غาصلت ۱ مولار

رخ می‌دهد. پوسته‌های تشکیل شده، بسته به ضخامت پوسته، فشار بخار حلال تبخیر شده داخل پوسته و سایر پارامترها، ممکن است در اثر برخورد با زیرلایه در هنگام رسوب یافتن، دچار گسیختگی شوند و پوسته‌های شکسته شده را پدید آورند یا به صورت کره‌های توخالی روی زیرلایه رسوب کنند. بنابراین حضور چشمگیر پوسته‌های شکسته شدهِ حبابی<sup>۲</sup> در

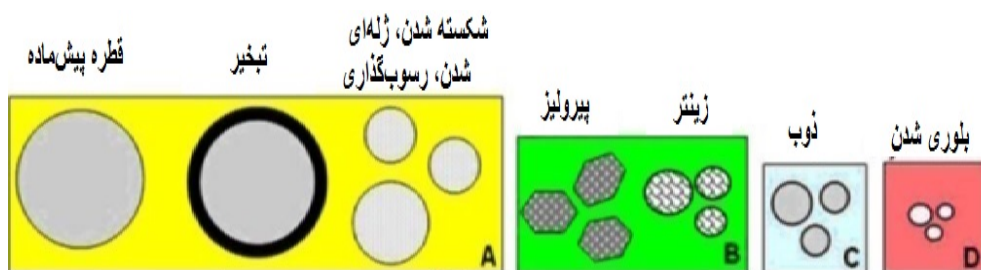
شکل ۶، مراحل رسوب‌گذاری قطره‌ها را حین پوشش‌دهی به روش SPPS برای پیش‌ماده‌های رقیق و غلیظ نشان می‌دهد. در مرور پیش‌ماده با غلظت کم، قطره‌های محلول پس از ورود به جت پلاسمما، به قطره‌های کوچک‌تری تجزیه می‌شوند و پس از آن با تبخیر حلال و رسوب‌گذاری سطحی، مواجه خواهند شد. در ادامه، تشکیل پوسته<sup>۱</sup>، حین رسوب‌گذاری

<sup>2</sup> Bubble-Like

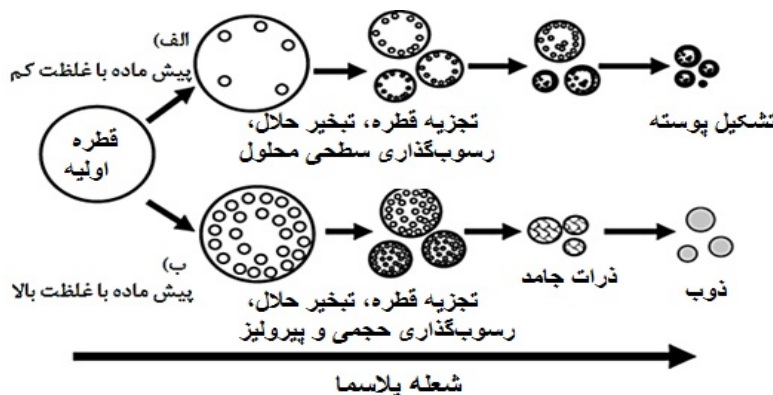
<sup>1</sup> Shell Formation

روی سطح زیرلایه رسوب یابند؛ ازین‌رو، در پوشش آلمینی ا تشکیل شده با پیش‌ماده غلیظتر (با غلظت ۱ مولار) نسبت به پیش‌ماده رقیق‌تر، ساختار متراکم‌تر، کاهش پوسته‌های شکسته‌شده و افزایش ذرات کروی جامد در ریزساختار این پوشش، می‌تواند به دلیل مذکور باشد. همچنین حضور ذرات با اشکال نامنظم در ریزساختار هر دو پوشش را می‌توان به ذرات پیروولیزنشده یا شبه‌پیروولیزشده نسبت داد که به دلیل حضور برخی قطره‌ها در بخش خارجی شعله پلاسمما و عدم تکمیل فرایندهای رسوب‌گذاری این قطره‌هاست.

ریزساختار پوشش آلمینی ایجاد شده با پیش‌ماده رقیق (غلظت ۵ مولار) و تشکیل ساختار اسفنجی‌شکل<sup>۱</sup>، به دلیل تعیت از این سازوکار، دور از انتظار نیست. در مورد پیش‌ماده‌های غلیظ، با توجه به شکل ۷، قطره‌های این پیش‌ماده پس از تجزیه به قطره‌های کوچک‌تر و تبخر حلال، با رسوب‌گذاری حجمی مواجه می‌شوند که تشکیل ذرات چگال جامد را در پی خواهد داشت. در ادامه فرایند، این ذرات کروی جامد می‌توانند ذوب شده و در اثر برخورد با زیرلایه به شکل اسپلت درآمده یا اینکه به دلیل عدم وجود فرصت کافی، به شکل ذرات کروی جامد



شکل ۶. پدیده‌های رخداده در حین رسوب‌گذاری در فرایند SPPS [۵]



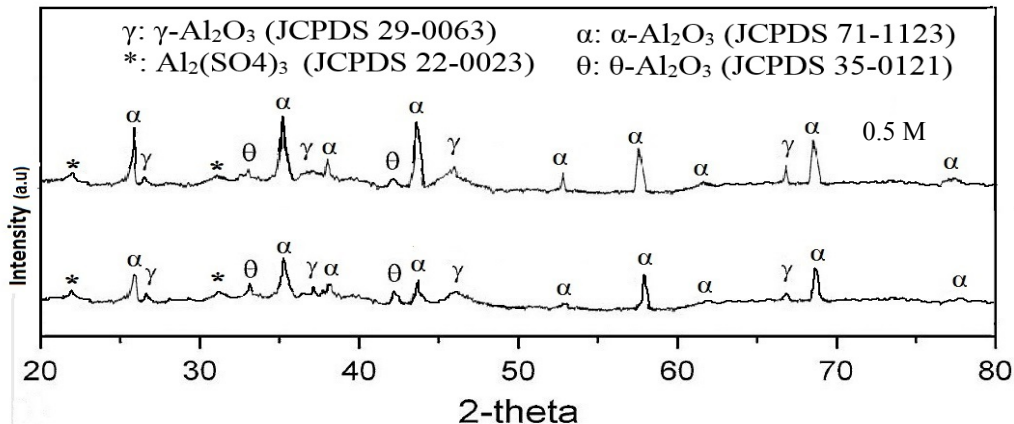
شکل ۷. طرحواره اثر غلظت پیش‌ماده بر تحول قطره در جت پلاسمما [۷]

پوشش‌دهی است. پیک‌های فازهای مختلف آلمینیا، از شدت چندان بالایی برخوردار نیستند، اما پیک فاز آلفا نسبت به بقیه فازها شدیدتر است که نشان‌دهنده حضور بیشتر این فاز در پوشش است. در کنار این پیک‌ها، پیک مربوط به فازهای پیروولیزنشده یا شبه‌پیروولیزشده سولفات آلمینیوم هم به طور بسیار نامحسوس قابل مشاهده است که نشان‌دهنده حضور درصد کمی از ذرات پیروولیزنشده در ساختار هر دو پوشش است.

### ۳-۳- طیف پراش پرتوایکس

شکل ۸ نتایج آنالیز XRD پوشش آلمینی ایجاد شده به روش SPPS را با غلظت‌های مختلف پیش‌ماده نشان می‌دهد. نتایج XRD هر دو نمونه، تقریباً مشابه یکدیگر است و تقاضت چشمگیری در ترکیبات پدیدآمده آن‌ها ملاحظه نمی‌شود. به طور کلی، حضور پیک‌های فازهای مختلف آلمینیا، شامل آلفا، گاما و بتا در آنالیز XRD در هر دو پوشش، نشان‌دهنده طی شدن مراحل پیروولیز و بلوری شدن قطره‌های پیش‌ماده در شعله پلاسمما حین

<sup>۱</sup> Spongy-Like



شکل ۸. طیف‌های XRD پوشش آلمینی ایجادشده به روش SPPS با پیش‌ماده سولفات آلمینیوم با غلظت ۰/۵ و ۱ مولار

## مراجع

- Pawlowski, L., "The relationship between structure and dielectric properties in plasma-sprayed alumina coatings", *Surface and Coatings Technology*, Vol. 35, No. 3-4, (1988), 285-298. [https://doi.org/10.1016/0257-8972\(88\)90042-4](https://doi.org/10.1016/0257-8972(88)90042-4)
- Li, C. J., Yang, G. J., Ohmori, A., "Relationship between particle erosion and lamellar microstructure for plasma-sprayed alumina coatings", *Wear*, Vol. 260, No. 11-12, (2006), 1166-1172. <https://doi.org/10.1016/j.wear.2005.07.006>
- Stahr, C. C., Saaro, S., Berger, L. M., Dubský, J., Neufuss, K., Herrmann, M., "Dependence of the stabilization of  $\alpha$ -alumina on the spray process", *Journal of Thermal Spray Technology*, Vol. 16, No. 5-6, (2007), 822-830. <https://doi.org/10.1007/s11666-007-9107-7>
- McPherson, R., "On the formation of thermally sprayed alumina coatings", *Journal of Materials Science*, Vol. 15, No. 12, (1980), 3141-3149. <https://doi.org/10.1007/BF00550387>
- Niemi, K., Vuoristo, P., Mäntylä, T., Lugscheider, E., Knuutila, J., Jungklaus, H., "Wear characteristics of oxide coatings deposited by plasma spraying, high power plasma spraying and detonation gun spraying", In *Advances of Thermal Scince and Technology, Proceedings of The 8<sup>th</sup> National Thermal Spray Conference*, ASM International, Materials Park, Ohio, U.S., (1995), 645-650. <https://www.osti.gov/biblio/379581>
- Krishnan, R., Dash, S., Kesavamoorthy, R., Babu Rao, C. B., Tyagi, A. K., Raj, B., "Laser surface modification and characterization of air plasma sprayed alumina coatings", *Surface and Coatings Technology*, Vol. 200, No. 8, (2006), 2791-2799. <https://doi.org/10.1016/j.surcoat.2005.05.002>
- Jun, B. S., Lee, S. J., Messing G. L., "Synthesis of nano-scaled  $\alpha$ -Al<sub>2</sub>O<sub>3</sub> particles by combustion spray pyrolysis", *Key Engineering Materials*, Vol. 317-318, (2006), 207-210. <https://doi.org/10.4028/www.scientific.net/KEM.317-318.207>
- Jordan, E. H., Jiang, C., Gell, M., "The solution precursor plasma spray (SPPS) process: A review with energy considerations", *Journal of Thermal Spray Technology*, Vol. 24, No. 7, (2015), 1153-1165. <https://doi.org/10.1007/s11666-015-0272-9>
- Gell, M., Jordan, E. H., Teicholz, M., Cetegen, B. M., Padture, N. P., Xie, L., Chen, D., Ma, X., Roth, J., "Thermal barrier coatings made by the solution precursor plasma spray process", *Journal of Thermal Spray Technology*, Vol. 17, No. 1, (2008), 124-135. <https://doi.org/10.1007/s11666-007-9141-5>
- Xie, L., Chen, D., Jordan, E. H., Ozturk, A., Wu, F., Ma, X., Cetegen, B. M., Gell, M., "Formation of vertical cracks in solution-precursor plasma-sprayed thermal barrier coatings", *Surface and Coatings Technology*, Vol. 201, No. 3-4, (2006), 1058-1064. <https://doi.org/10.1016/j.surcoat.2006.01.020>
- Moreau, C., Bisson, J. F., Lima, R. S., Marple, B. R., "Diagnostics for advanced materials processing by plasma spraying", *Journal Pure and Applied Chemistry*, Vol. 77, No. 2, (2001), 443-462. <https://doi.org/10.1351/pac200577020443>

## ۴- نتیجه‌گیری

- تجهیزات طراحی و ساخته شده به روش مهندسی معکوس برای پوشش دهی به روش SPPS در آزمون عملکردی خود موفق ظاهر شدند؛ به طوری که با استفاده از پیش‌ماده‌های سولفات آلمینیوم با غلظت ۰/۵ و ۱ مولار، پوشش آلمینیا به ضخامت حدود ۱۸۰ میکرون روی سطح زیرلایه تشکیل شد.
- ساختار پوشش آلمینی احصال از پیش‌ماده سولفات آلمینیوم با غلظت ۰/۵ مولار نسبت به همان پیش‌ماده با غلظت ۱ مولار، دارای تخلخل بیشتری بود و تعداد زیادی پوسته‌های شکسته شده حبابی شکل در ریزساختار آن مشاهده شد؛ در حالی که ساختار پوشش به دست آمده از پیش‌ماده غلیظتر، متراکم‌تر بود و پوسته‌های شکسته شده کمتر و ذرات کروی جامد بیشتری در ریزساختار آن ملاحظه شد که علت آن مریوط به تأثیر غلظت پیش‌ماده بر ریزساختار پوشش بود.
- آنالیز XRD هر دو پوشش، تفاوت چندانی با یکدیگر نداشتند و فاز غالب در ریزساختار هر دو پوشش، آلمینی اalfa بود.

## ۵- سپاسگزاری

نویسنده‌گان مقاله از مسئولین شرکت اطلس توربین پارس به دلیل زحمات بی‌شائبه برای در اختیار قرار دادن تجهیزات پیشبرد این کار پژوهشی، تشکر و قدردانی می‌کنند.

- 
16. Xu, P., Coyle, T. W., Pershin, L., Mostaghimi, J., "Fabrication of micro-/nano-structured superhydrophobic ceramic coating with reversible wettability via a novel solution precursor vacuum plasma spray process", *Materials & Design*, Vol. 160, (2018), 974-984. <https://doi.org/10.1016/j.matdes.2018.10.015>
17. Jadhav, A., Padture, N. P., Wu, F., Jordan, E. H., Gell, M., "Thick ceramic thermal barrier coatings with high durability deposited using solution-precursor plasma spray", *Materials Science and Engineering: A*, Vol. 405, No. 1-2, (2005), 313-320. <https://doi.org/10.1016/j.msea.2005.06.023>
18. Çilgi, G., Cetisli, H., "Thermal decomposition kinetics of aluminum sulfate hydrate", *Journal of Thermal Analysis and Calorimetry*, Vol. 98, No. 3, (2009), 855-861. <https://doi.org/10.1007/s10973-009-0389-5>
19. Chen, D., Jordan, E. H., Gell, M., "Effect of solution concentration on splat formation and coating microstructure using the solution precursor plasma spray process", *Surface & Coatings Technology*, Vol. 202, No. 10, (2008), 2132-2138. <https://doi.org/10.1016/j.surco.2007.08.077>
12. Ma, X., Wu, F., Roth, J., Gell, M., Jordan, E. H., "Low thermal conductivity thermal barrier coating deposited by the solution plasma spray process", *Surface and Coatings Technology*, Vol. 201, No. 7, (2006), 4447-4452. <https://doi.org/10.1016/j.surco.2006.08.095>
13. Chen, D., Jordan, E. H., Renfro, M. W., Gell, M., "Dy: YAG phosphor coating using the solution precursor plasma spray process", *Journal of the American Ceramic Society*, Vol. 92, No. 1, (2009), 268-271. <https://doi.org/10.1111/j.1551-2916.2008.02846.x>
14. Puranen, J., Laakso, J., Kylmälähti, M., Vuoristo, P., "Characterization of high-velocity solution precursor flame-sprayed manganese cobalt oxide spinel coatings for metallic SOFC interconnectors", *Journal of Thermal Spray Technology*, Vol. 22, No. 5, (2013), 622-630. <https://doi.org/10.1007/s11666-013-9922-y>
15. Candidato Jr, R. T., Sokolowski, P., Pawłowski, L., Denoirjean, A., "Preliminary study of hydroxyapatite coatings synthesis using solution precursor plasma spraying", *Surface & Coatings Technology*, Vol. 277, (2015) 242-250. <http://dx.doi.org/10.1016/j.surco.2015.07.046>